

Wolfson ch 20 電荷、靜電力與電場

1

電磁力是除重力外惟吾人最密切的作用力，舉凡力學、化學及生物的作用力皆為電磁力。

(1) 電荷

- Electric charge 是電子和質子的一個 intrinsic property。
藉由觀察帶電物体的交互作用瞭解電荷的知識：
 - 電荷分為 positive 及 negative 兩種、
 - 同種電荷相斥，不同種則相吸、
 - 物体的淨電荷 (net charge) 為兩種 charges 的几何總和 (algebraic sum)
- 每個 e^- 帶有相同的 charge，每個 proton 亦有相同多但相反的 e^- 相反的 charge，此 charge 是基本電荷量 e ， e^- 的電荷量為 $-e$ ，proton 的 e_+ + e

物体所帶的 charge 被 quantized, 即 e 的整數倍、

$$e = 1.60 \times 10^{-19} \text{ C} \quad (\text{Coulomb 庫侖})$$

有准整數 e 的基本粒子 quark (如 $\frac{1}{3}e$) 無法單獨存在、

\Rightarrow 電荷守恒：the net charge in a closed system remains constant.

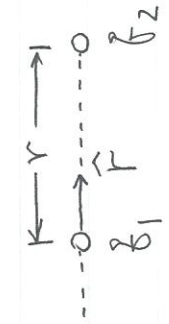
(2) Coulomb's law

- 帶電體間之作用之規則：
 - 若 \vec{f}_1 作用力方向沿著兩者的連線 (遠心力)
 - 作用力大小正比於 $\vec{q}_1 \times \vec{q}_2$
 - 作用力大小與兩者距離平方成反比。

$$\Rightarrow \text{Coulomb's law : } \vec{F}_{12} = k \frac{\vec{q}_1 \cdot \vec{q}_2}{r^2} \hat{r}$$

where $k = 9.0 \times 10^9 \frac{\text{N} \cdot \text{m}^2}{\text{C}^2}$. $\hat{r} =$ 由 q_1 指向 q_2 的單位向量。

註



- ; When q_1, q_2 同号 ($r > 0$)
 $(q_1 \times q_2 > 0)$
- When q_1, q_2 异号 ($r < 0$)
 $(q_1 \times q_2 < 0)$

Coulomb's law 之適用於 point charges, 是無尺寸或尺寸大小, 將互相抵消忽略, i.e., q_1, q_2 的量荷分布尺寸 \ll 其間的距離 r 。
 For 數個 point charges $q_1, q_2, q_3, \dots, q_N$ 對 point charge q_a 的
 Coulomb's force $\vec{F} = \sum_{i=1}^N \vec{F}_{ia} = \vec{F}_{1a} + \vec{F}_{2a} + \vec{F}_{3a} + \dots + \vec{F}_{Na}$
 由 Superposition principle.

Point charges 間的 Coulomb 作用力 $\propto r^{-2}$, 但當荷分布體的 Coulomb 力則
 不一定是如此. See Example 20.2.

(3) ~~和~~ (electric field, 用 \vec{E} 表示)

$$\sim \frac{\vec{F}}{m} = \text{force per unit mass in air} \quad \vec{F}_g / m$$

Similarly, 定義 \vec{E} = force per unit charge $\vec{E} = \frac{\vec{F}}{q_{\text{test}}}$
 $\vec{E} = k \frac{q \cdot q_{\text{test}}}{r^2} \hat{r} = \frac{k q}{r^2} \hat{r}$ = charge q 在其周圍空間所建立的電場.

$$\therefore [E] = N/C.$$

\vec{E} 的方向和 q_{test} 的量性有關 (though q_{test} doesn't appear in $\vec{E} = \frac{k q}{r^2} \hat{r}$)
 \Rightarrow 假定 q_{test} 為正電荷 (positive test charge)
 ; \vec{E} point charge 建立的 \vec{E} 方向: 軸射向外, 夏者為軸射向內。

$\Rightarrow \vec{E}$: take positive point charge q_{test} 置於空閒某點 A , 量測其所受之 Coulomb 力, 得以 q_{test} 為中點的 \vec{E} .

正確

(4) 電荷分布的 \vec{E}

o superposition principle 適用於 \vec{E} .

For 空間中有 point charges q_1, q_2, q_3, \dots , 在某一點中的 \vec{E}

$$\vec{E} = \vec{E}_1 + \vec{E}_2 + \vec{E}_3 + \dots = \sum \vec{E}_i$$

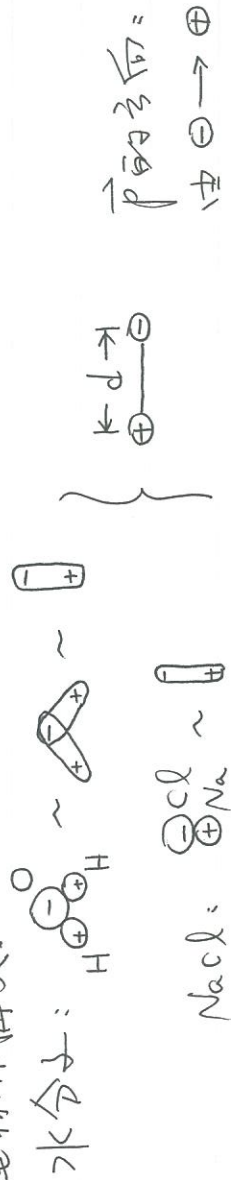
$$= \sum k \frac{q_i}{r_i^2} \hat{r}_i$$

如左圖，在 field point 中黑化的

$$\vec{E} = k \left(\frac{q_1}{r_1^2} \hat{r}_1 + \frac{q_2}{r_2^2} \hat{r}_2 + \frac{q_3}{r_3^2} \hat{r}_3 \right)$$

o Electric dipole (電偶極，用 \vec{P} 表示)

為一重要的電荷分布，尤其是在分子尺寸時，其由同電量的正、負電荷所構成。



Electric dipole 係的 $\vec{E} = ?$ (Example 20.5)

$$\vec{E} = \frac{k}{r^3} [3(\vec{p} \cdot \hat{r})\hat{r} - \vec{p}] \quad (\text{Benson problem 25.14}), \quad \begin{aligned} &\text{the } \vec{p} \text{ is dipole moment,} \\ &\text{where } \begin{array}{c} \leftarrow \\ \text{---} \\ \text{---} \\ \text{---} \\ \leftarrow \end{array} \quad \vec{p} = p \hat{d} \end{aligned}$$

(i) 在分子軸上的 \vec{E} ： $\vec{p} \parallel \hat{r} \quad \therefore 3(\vec{p} \cdot \hat{r})\hat{r} - \vec{p} = 2\vec{p}$

$$\therefore \vec{E} = \frac{2k}{r^3} \vec{p}$$

(ii) 垂分子軸的 \vec{E} ： $\vec{p} \perp \hat{r}, \quad \therefore 3(\vec{p} \cdot \hat{r})\hat{r} - \vec{p} = -\vec{p}$

$$\therefore \vec{E} = -\frac{k}{r^3} \vec{p}$$



題

○ 單荷分布體的 \vec{E}

~ 質量連續體的作法，將連續體切割成很小的細分體
 (dx, dA, dv) ，再將其中的電荷 $d\sigma$ 產生的電場 $d\vec{E}$ 加起來，i.e.,

$$\vec{E} = \int d\vec{E} = \int \frac{\rho \cdot d\sigma}{r^2} \hat{r}$$



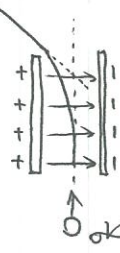
$d\sigma$ 及 dx 、 dA 、 dv 的連繫：charge density

- 1 D: Linear charge density λ (C/m) , $d\sigma = \lambda \cdot dx$ Examples
 $\left. \begin{array}{l} \\ \end{array} \right\} 20, 6 \text{ and } 20, 7.$
- 2 D: Surface charge density σ (C/m^2) , $d\sigma = \sigma \cdot dA$
- 3 D: Volume charge density ρ (C/m^3) , $d\sigma = \rho \cdot dv$

(5) 物質和 \vec{E} 的交互作用

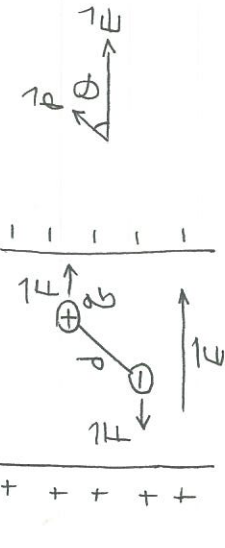
○ Point charge

e^- 的 mass m_e proton $\ll 10^3$ order, \therefore 被 \vec{E} 作用時，加速度遠甚於 proton 大。
 When e^- 經過的 \vec{E} 時，其路徑為拋物線，
 利用此特性和製造等離子質量分析器
 (electrostatic analyzer) i.e., 帶電粒子的速
 度選擇器， \Rightarrow Example 20.8 (page 6)



○ dipole \vec{p} in uniform field \vec{E}

在左圖，dipole 在 \vec{E} 中的淨力 $= 0$ ，
 但 net torque $\neq 0$. ∵ dipole 中心為參考點
 產生的 torque $T_+ = T_- = r \cdot F_\perp = \frac{d}{2} \cdot F \sin \theta$
 $\therefore T = T_+ + T_- = d \sin \theta \cdot F = d \sin \theta \cdot \vec{F}$
 $= \rho E \sin \theta$, 方向：into the page.
 $\Rightarrow \vec{T} = \vec{p} \times \vec{E}$



∴ 當 $\vec{p} // \vec{E}$ 時 $\vec{T} = 0$ ，作用在 \vec{p} 的淨力 \vec{F} 為零， \vec{p} 为最穩定
 狀態，i.e. 位能處於最低。



要改變 dipole 的方位時，外力必須作功，所作的功次位能 U 在 Store 在系統中。設外旋轉 dipole 從 $\theta_1 \rightarrow \theta_2$ (dipole 的 KE 不變) 累積作功 W ，
力

$$W = \int dW = \int_{\theta_1}^{\theta_2} T \cdot d\theta = \rho E \int_{\theta_1}^{\theta_2} \sin\theta \, d\theta = -\rho E \cos\theta_2 - (-\rho E \cos\theta_1)$$

$$= U(\theta_2) - U(\theta_1) \Rightarrow U(\theta) = -\rho E \cos\theta + \text{constant.}$$

Choose constant = 0

$$\begin{aligned} \therefore U(\theta) &= -\rho E \cos\theta \\ &= -\vec{p} \cdot \vec{E} \end{aligned}$$

$$\text{Note: } U(\theta=0) = -\rho E = \frac{1}{2} \text{取值.} \quad -\rho E$$

When \vec{E} is not uniform, $|F|$ 作用在 dipole 上的淨力也是淨力矩不為零。一個重要的例子是不均匀的 \vec{E} 由另一個 dipole 所產生，如右圖。

$$\because |F_+| > |F_-|, \therefore \text{dipole B 为 dipole A 吸收子, 为分子间作用力 (如 } \text{NO, CO, CO}_2 \text{) van der Waals 力由来。}$$

$$\vec{F}_+ \rightarrow \vec{F}_- \rightarrow \vec{B}$$

○導體、絕緣體 (conductors / insulators) 及介質 (dielectrics)

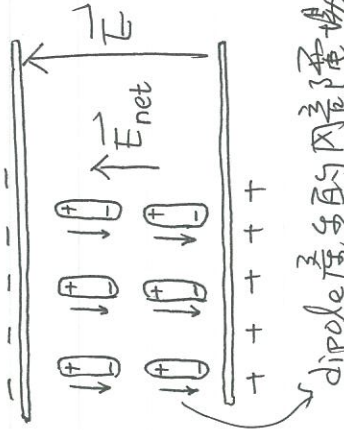
Conductors (如金屬、導電子溶液、導電子化學體):

導體 (e^- 、 p^+) 可自由移動，在電場作用下，形成導電流。
Insulators: 單子有帶電體，卻無法自由移動，無法形成電流。

} 帶性分子 (polar molecules) 有具有極性的內在 dipole moment 的分子如水, HCl ，非極性分子可因外加 \vec{E} 而產生 induced dipole moment，由這兩類分子所構成的物質稱為介質 (dielectrics)、

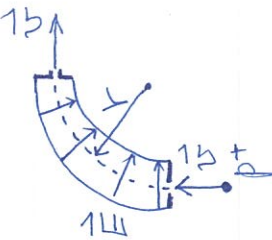
$$\begin{array}{c} \vec{E} \text{作用} \\ \text{由外加電場所產生的 induced dipole moment } \vec{p} \\ \text{註} \\ \text{---} \\ \text{---} \\ \vec{E} = 0 \end{array}$$

介子所受在外電場 \vec{E} 中時，體內的
淨電場比 \vec{E} 小，如左圖所示。
原因：排列整齊的 dipole 產生的
內部電場抵消一部分的 \vec{E} 。
(在討論電容時，有定量描述)



若 \vec{E} 過大，則 dipole 的電荷被拆離，
形成導體內 conductor 的狀態，此稱為 dielectric breakdown，又對
電子設備產生傷害。大自然中的 dielectric breakdown = lightning，
對為 air 分子。

Example 20.8



如左圖的同心圓弧金屬板建立的電場 $E = E_0 \left(\frac{b}{r} \right)$ ，
 r 是圓弧金屬板中心的半徑，proton 由下方入口垂直入射，
若 p^+ 在右邊出口中心逸出，則 $V = ?$ (E_0, b 為常數)

~~按：~~

若 p^+ 的 UCM， \vec{E} 施加在 p^+ 的 Coulomb 力 \vec{F} 向心力，
∴ 在 r 處的 p^+ 所受的力

$$ma = \frac{mv^2}{r} = e \cdot E_0 \cdot E_0 \cdot \frac{b}{r} \Rightarrow v = \sqrt{\frac{e b E_0}{m}}$$

speed > v 的 p^+ 撞擊外板 { 會無法在右出口逸出。
speed < v // 內，

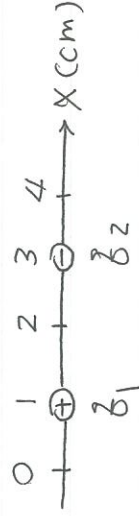
? 是 speed 選擇器 — 一種能量解析器，

正確

Wolffson Ch 20

Example 20.1: Coulomb's law

在數線上的兩個 point charges
 $q_1 = 1.0 \mu C$, $q_2 = -1.5 \mu C$, 計 $\vec{F}_{12} = ?$



$$\begin{aligned} & \hat{r} \rightarrow \dots \quad \Rightarrow \vec{F}_{12} = k \frac{q_1 q_2}{r^2} \hat{r} \quad \text{where } \hat{r} = \hat{i} \\ & \hat{q}_1 \quad \hat{q}_2 \\ & = k \frac{1.5 \times 10^{-12} \hat{i}}{(2 \text{ cm})^2} = -34 \hat{i} \text{ N} \end{aligned}$$

又見例題 20.1

e^- 和 e^+ 之間的電力作用和重力作用的比值？

$$\text{電力作用 } F_E = k \frac{e^2}{r^2}, \text{ 重力作用 } F_G = g \frac{m_e m_p}{r^2}$$

$$\therefore \frac{F_E}{F_G} = \frac{k e^2}{g m_e m_p} = 2.3 \times 10^{39} \text{ ?}$$

(1) 計算基本物理量 (力作用時，可忽略重力作用、

(ii) 電力作用遠比重力大很多，why 日常生活中又有重力作用
 是原因？



Example 20.2

In the diagram, at a position $(0, y)$ the charge Q experiences a force \vec{F} .

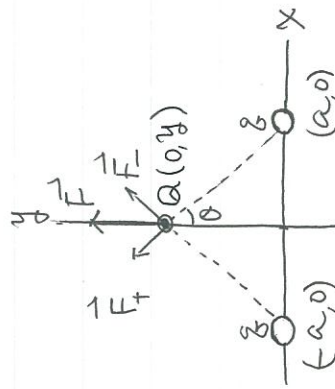
$$\vec{F}_+ : Q \text{受到} +\alpha \text{的} \vec{F}_+ \text{和} -\alpha \text{的} \vec{F}_- \text{所施加之電力}$$

$$\vec{F}_- :$$

$$\therefore Q \text{所受淨力} \vec{F} = \vec{F}_+ + \vec{F}_- = |\vec{F}_+| \cdot 2 \cos \theta \hat{j} \quad (\text{X分量抵消})$$

$$\begin{aligned} &= \frac{k \frac{Q}{y^2 + \alpha^2}}{\sqrt{y^2 + \alpha^2}} \cdot 2 \cdot \frac{y}{\sqrt{y^2 + \alpha^2}} \cdot \hat{j} \\ &= \frac{k Q \cdot (2y)}{(y^2 + \alpha^2)^{3/2}} \hat{j} \\ &= \end{aligned}$$

Check: (i) near field at $y=0$, $\vec{F}=0 \Rightarrow$ Yes,
(ii) far field for $y \gg \alpha \Rightarrow \vec{F} \approx k \frac{(2\alpha) \cdot Q}{y^2} \hat{j}$
相當於 $(\delta + \alpha) = 2\alpha$ 是 point charge



Example 20.5

- 3個極性分子的 \vec{E}

類似 Example 20.2, 如右圖的
dipole 分布, 則在 $(0, y)$ 的 $\vec{E} = ?$

$$\begin{aligned} \text{由圖可知 } \vec{E} &= \vec{E}_+ + \vec{E}_- \\ &= |\vec{E}_+| \cdot 2 \sin \theta \cdot (-\hat{i}) \\ &= \frac{k \frac{Q}{y^2 + \alpha^2}}{\sqrt{y^2 + \alpha^2}} \cdot \frac{2 \alpha}{(y^2 + \alpha^2)^{3/2}} \cdot (-\hat{i}) = -k \frac{(8/2\alpha)}{(y^2 + \alpha^2)^{3/2}} \hat{i} \\ &= -\frac{k p}{(y^2 + \alpha^2)^{3/2}} \hat{i} \end{aligned}$$

$$\text{Far field: } y \gg \alpha, \vec{E} \approx -\frac{k p}{y^3} \hat{i}$$

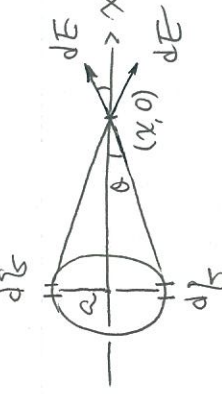
題

Example 20.6 A charged ring

半徑 a , Q 均勻分布其上的 ring, 中心軸上 $\vec{E} = ?$

由右圖可知 \vec{E} 只有 x 分量, y 分量因抵消而 $\vec{0}$.

$$\therefore d\vec{E} = \hat{x} \cdot \frac{d\vec{Q}}{r^2} = \hat{x} \cdot \frac{dQ}{x^2 + a^2}$$



$$\therefore \vec{E} = \hat{x} \int dE \cdot \cos\theta = \hat{x} \int$$

$$R \cdot \frac{dQ \cdot x}{(x^2 + a^2)^{3/2}}$$

$$= \frac{\hat{x} \cdot x \cdot \hat{i}}{(x^2 + a^2)^{3/2}} \int dQ = \frac{\hat{x} Q \times \hat{i}}{(x^2 + a^2)^{3/2}} \quad (\text{Compared with Example 20.2})$$

$$(dQ = \lambda \cdot d\Omega = \frac{Q}{2\pi a} \cdot a \cdot d\varphi)$$

$$= \frac{Q}{2\pi} d\varphi, \text{ and } \int dQ = \frac{Q}{2\pi} \int_0^{2\pi} d\varphi = Q$$

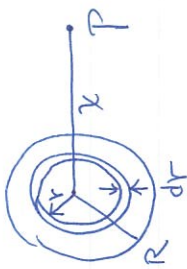
Check: (i) near field at $x=0$, $\vec{E} = \vec{0}$

$$(ii) far field at $x \gg a \Rightarrow \vec{E} \approx \frac{kQ}{x^2} \hat{x}$,$$

the ring becomes a point charge.

~~由~~ Example 7.1, ~~將~~ extend 到 charged disk (problem 71~73)
到 charged shell & sphere, 不過後兩者因高對稱, 所以用 Gauss law。

Problem 71. charged disk of surface charge density σ (C/m^2), R .
中心對稱軸上 $\vec{E} = ?$



半徑 r 的 ring 中的 charge $dQ = \text{ring's area} \cdot \sigma$

$$dQ = \frac{\pi r^2 \sigma}{(x^2 + r^2)^{3/2}} \cdot d\Omega = 2\pi r \sigma x \cdot \frac{r \cdot dr}{(x^2 + r^2)^{3/2}}$$

$$\therefore E = \int_{r=0}^R dE = 2\pi \rho \sigma x \int_0^R \frac{r \cdot dr}{(x^2 + r^2)^{3/2}} = 2\pi \rho \sigma (1 - \frac{x}{\sqrt{x^2 + R^2}})$$

χ 軸上無限長的均勻帶電綫，charge density $= \lambda$ (C/m)，則 χ 軸上 $(0, y)$ 的 \vec{E} = ?

由右圖可知 \vec{E} 只有 y 分量， x 分量因抵消而 $\neq 0$ 。

$$\begin{aligned} \therefore E &= \int dE \cdot \cos\theta \\ &= \int \frac{k \cdot dg}{r^2} \cdot \frac{y}{r} = k\lambda \int \frac{y \cdot dx}{r^3} \end{aligned}$$

$$\text{where } r^2 = x^2 + y^2.$$

When dg 在 x -軸由 0 移動到 θ ， x, y 皆隨之改變， r 也隨之改變。
若數者可成為積分變數，它們的關係為 $\sin\theta = \frac{x}{r}$ and $x = y \tan\theta$ 。

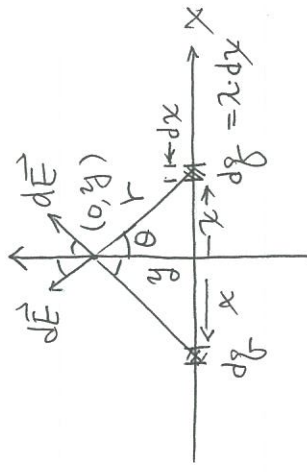
(i) χ 為積分變數

$$\begin{aligned} E &= k\lambda y \int_{-\infty}^{\infty} \frac{dx}{(x^2 + y^2)^{3/2}} = 2k\lambda y \int_0^{\infty} \frac{dx}{(x^2 + y^2)^{3/2}} \\ &= \frac{2k\lambda}{y} \left(\begin{array}{l} \text{逐數代換: } x = y \tan\theta, \text{ and } \frac{dx}{d\theta} = y \sec^2\theta. \\ | + \tan^2 A = \sec^2 A. \text{ When } x : 0 \rightarrow \infty, \theta = 0 \rightarrow \frac{\pi}{2} \end{array} \right) \end{aligned}$$

(ii) θ 為積分變數

$$\begin{aligned} E &= \int \frac{k \cdot dg}{r^2} \cdot \cos\theta = k\lambda \int \frac{dx}{r^2} \cdot \cos\theta \quad \left(\frac{1}{r^2} = \frac{\sin^2\theta}{x^2} \text{ and } \frac{dx}{d\theta} = y \sec^2\theta \right) \\ &= \frac{k\lambda}{y} \int_{-\pi/2}^{\pi/2} \cos\theta \cdot d\theta = 2 \frac{k\lambda}{y}. \end{aligned}$$

(iii) $Try \chi$ 為積分變數



Note: (i) 這是運用 Gauß's law 解題時，比較簡單。

- (ii) \vec{E} 的 對稱性：以線串為中心串對稱外，
因為 θ 及 r^{-1} ， r 为正線串的距離、
(iii) 限長在定界情況下的意義 = 互有限長
帶電綫，非常近的地方。